

IMN430
Chapitre 2
Techniques de base en visualisation
Partie 1: Triangulation

Olivier Godin

Université de Sherbrooke

12 janvier 2017

Plan de la présentation

- 1 Introduction
- 2 Triangulation
- 3 Références

Introduction

- 1 Introduction
- 2 Triangulation
- 3 Références

Introduction

Dans ce chapitre-ci, on s'attarde aux méthodes de base permettant d'**exprimer les données sous forme visuelle**.

Tel que mentionné dans le chapitre d'introduction, les **algorithmes de mappage** qui mettent en correspondance des données avec des primitives graphiques sont au coeur de la visualisation.

Ces algorithmes seront catégorisés **selon le type de donnée qu'ils prennent en entrée**.

Introduction

Ici, une attention toute particulière sera portée aux algorithmes de mappage de **données scalaires**.

Par la suite, une introduction aux représentations de **données vectorielles** sera aussi présentée, mais ce sujet sera approfondi au chapitre 5.

Triangulation

1 Introduction

2 **Triangulation**

- Généralités
- Diagrammes de Voronoï
- Triangulation de Delaunay

3 Références

Généralités

1 Introduction

2 **Triangulation**

- **Généralités**
- Diagrammes de Voronoï
- Triangulation de Delaunay

3 Références

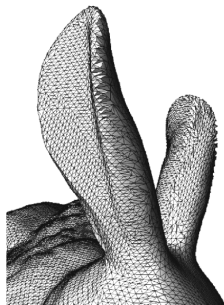
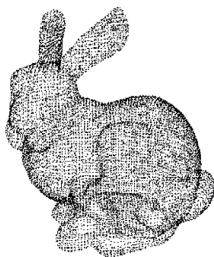
Principe de base

À partir d'un nuage de points 3D, on veut **interpoler la surface qui sous-tend le nuage**. Cela revient à trouver le modèle qui colle le mieux aux données.



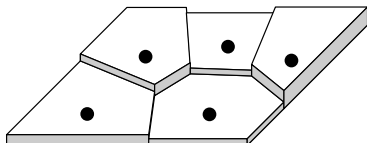
Principe de base

On souhaite interpoler une surface 2D $f : \mathbb{R}^2 \rightarrow \mathbb{R}$ où la valeur $f(x, y)$ est connue **seulement en un nombre fini de points**, que l'on notera P , un sous ensemble du domaine $A \subseteq \mathbb{R}^2$ de f .



Principe de base

Une approche naïve consiste à **assigner à chaque coordonnées de A la valeur de f au point $p \in P$ le plus près.**

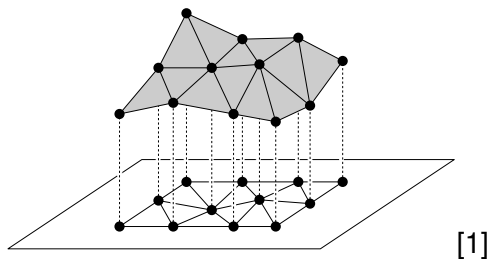


[1]

Une meilleure approche consiste à déterminer une **triangulation de P** . Dans une triangulation, chaque point $p_i = (x_i, y_i) \in P$ est élevé à sa hauteur $f(x_i, y_i)$ et ceux-ci sont **reliés par des triangles en 3D**.

Principe de base

Une triangulation est une **subdivision planeaire de A** où chaque division est un triangle dont les sommets sont les éléments de P .



De plus, dans une triangulation T de P , il est **impossible d'ajouter un segment connectant deux points** sans intersecter un segment existant.

Principe de base

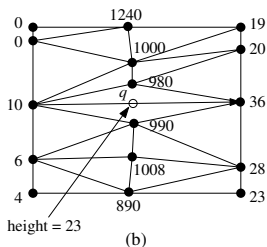
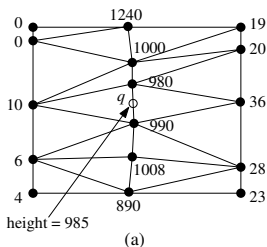
Plusieurs questions restent sans réponse :

- Est-ce qu'une triangulation pour un ensemble de points P **existe toujours** ?
- Cette triangulation est-elle **unique** ?
- Si elle ne l'est pas, comment savoir si une triangulation est **meilleure qu'une autre** ?

Comme **on ne dispose des valeurs de $f(x, y)$ qu'à certaines positions**, toutes les triangulations de P pourraient être perçues comme étant **aussi valides les unes que les autres...** Ce n'est toutefois pas le cas.

Principe de base

À titre d'exemple, considérons **deux triangulations d'un même ensemble de points**, où les valeurs numériques associées aux sommets sont les valeurs de $f(x, y)$ à ces points.



[1]

Les deux triangulations sont **identiques à l'exception d'une arête**, mais la triangulation (b) semble moins naturelle.

Principe de base

Comment **convertir cette intuition en un critère strict** qui nous dirait que (a) est une meilleure triangulation que (b) ?

Le problème de la triangulation (b) est que la valeur interpolée au point q est donnée par deux sommets assez éloignés de q . Une telle situation engendrera des **petits angles dans la triangulation** et c'est cela qu'on tentera d'éviter.

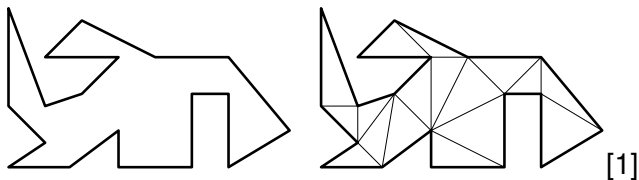
Principe de base

Partant du principe que les petits angles doivent être évités dans une triangulation, on cherchera à **trier celles-ci selon leur plus petit angle**.

Comme il existe un nombre fini de triangulations pour un ensemble de points P donné, on pourra trouver **celle qui maximise l'angle minimal**. Ce sera la triangulation recherchée.

Obtention d'une triangulation

La séparation d'un polygone en triangles à l'aide d'**un nombre maximal de diagonales sans intersection** est une triangulation du polygone.



Les triangulations ne sont, en général, **pas uniques**.

Obtention d'une triangulation

Le théorème suivant se veut rassurant :

Théorème 3.1

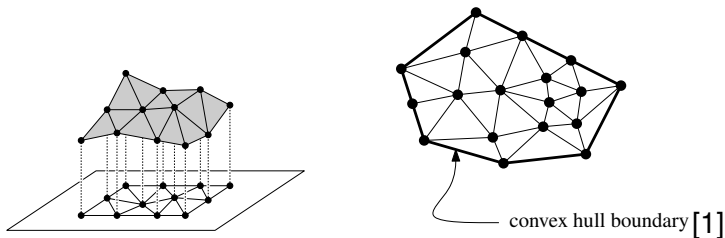
Tout polygone simple admet une triangulation, et toute triangulation d'un polygone simple à n côtés comporte exactement $n - 2$ triangles.

En effet,

- il garantit l'existence d'une triangulation ; et
- il détermine la complexité de celle-ci.

Obtention d'une triangulation

Dans le cas d'un nuage de points 3D, on **projette ceux-ci sur un plan** et l'enveloppe convexe 2D des points projetés est le polygone A dont on cherche la triangulation.



Obtention d'une triangulation

Soit \mathcal{T} une triangulation d'un ensemble de points P composée de m triangles. On s'intéresse aux $3m$ **angles formant les m triangles de \mathcal{T}** triés en ordre croissant.

On note par

$$\alpha_1, \alpha_2, \dots, \alpha_{3m}$$

cette séquence d'angles, avec $\alpha_i \leq \alpha_j$ si $i < j$.

On appelle $\alpha(\mathcal{T}) = (\alpha_1, \alpha_2, \dots, \alpha_{3m})$ le **vecteur-angle** de \mathcal{T} .

Obtention d'une triangulation

Soit \mathcal{T}' une autre triangulation de P , et soit $\alpha(\mathcal{T}') = (\alpha'_1, \alpha'_2, \dots, \alpha'_{3m})$ son vecteur-angle. On dira que $\alpha(\mathcal{T}) > \alpha(\mathcal{T}')$ s'il existe une position i , avec $1 \leq i \leq 3m$, telle que

$$\alpha_j = \alpha'_j \quad \text{pour tout } j < i \quad \text{et} \quad \alpha_i > \alpha'_i.$$

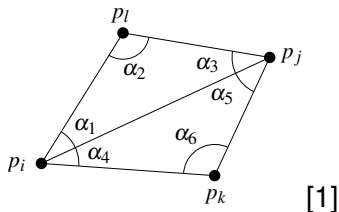
Une triangulation de P est dite **angle-optimale** si $\alpha(\mathcal{T}) > \alpha(\mathcal{T}')$ pour toutes les autres triangulations \mathcal{T}' de P .

Une triangulation angle-optimale **maximisera le plus petit angle** parmi l'ensemble des triangulations possibles.

Obtention d'une triangulation

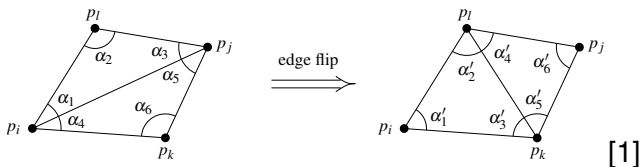
Considérons une arête $e = \overline{p_i p_j}$ faisant partie d'une triangulation \mathcal{T} d'un ensemble de points P .

Si e **ne fait pas partie de l'enveloppe convexe** de la triangulation, on sait qu'elle est **partagée par deux triangles** $\triangle p_i p_j p_k$ et $\triangle p_i p_j p_l$.



Obtention d'une triangulation

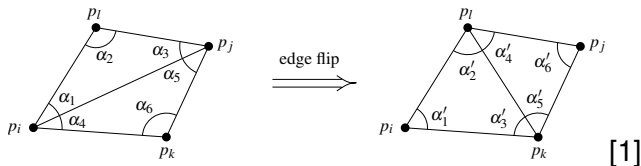
Une nouvelle triangulation \mathcal{T}' de P peut alors être obtenue en **remplaçant l'arête $\overline{p_i p_j}$ par l'arête $\overline{p_k p_l}$** .



Ainsi, **les seules différences entre les deux vecteur-angles** sont les six angles $\alpha_1, \dots, \alpha_6$ dans $\alpha(\mathcal{T})$ qui sont remplacés par $\alpha'_1, \dots, \alpha'_6$ dans $\alpha(\mathcal{T}')$.

Obtention d'une triangulation

On dira que l'arête $e = \overline{p_i p_j}$ est **illégal** si $\min_{1 \leq i \leq 6} \alpha_i < \min_{1 \leq i \leq 6} \alpha'_i$.



En d'autres mots, si une arête est illégale, **on peut augmenter localement la valeur du plus petit angle** en permutant les arêtes.

Obtention d'une triangulation

Soit \mathcal{T} une triangulation possédant une arête illégale e et soit \mathcal{T}' la triangulation obtenue en permutant e . On aura alors que $\alpha(\mathcal{T}') > \alpha(\mathcal{T})$.

On définit alors le concept de **triangulation légale** comme étant une triangulation **ne contenant aucune arête illégale**.

De plus, **toute triangulation angle-optimale est légale**.

Obtention d'une triangulation

En utilisant cette définition, **l'obtention d'une triangulation légale à partir d'une triangulation initiale** est fort simple : il suffit de faire permuter des arêtes jusqu'à ce qu'elles soient toutes légales.

Comme il existe un nombre fini de triangulations pour un ensemble de points P , cette méthode fournira assurément une triangulation légale.

Obtention d'une triangulation

Cela dit, cette technique est trop lente pour être intéressante en pratique. De plus, **on ne peut garantir l'obtention d'une triangulation angle-optimale** par cette méthode, puisque le résultat obtenu dépend du point de départ.

On prendra plutôt un long détour pour trouver la triangulation souhaitée...

Diagrammes de Voronoï

1 Introduction

2 **Triangulation**

- Généralités
- **Diagrammes de Voronoï**
- Triangulation de Delaunay

3 Références

Diagrammes de Voronoï (Principe de base)

Soit P un ensemble de n points distincts sur le plan, appelés sites.

Le **diagramme de Voronoï** de P est la **subdivision du plan** en n cellules (une pour chaque site) telle qu'un point $q \notin P$ est dans la cellule correspondante à un site $p_i \in P$ si et seulement si

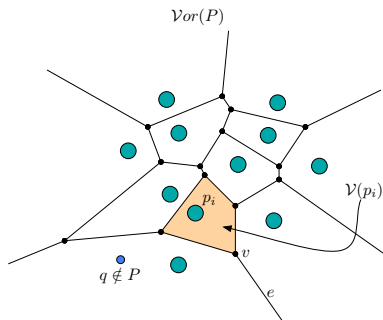
$$d(q, p_i) < d(q, p_j) \quad \text{pour tout } p_j \in P \text{ avec } i \neq j,$$

où $d(p, q)$ est la distance euclidienne entre les points p et q .

Diagrammes de Voronoï (Principe de base)

Dans le diagramme de droite,

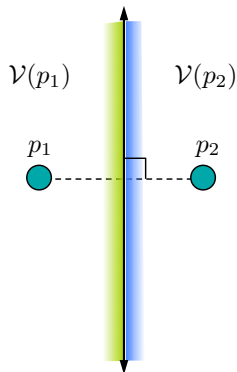
- $\mathcal{V}or(P)$ est le diagramme de Voronoï associé à P
- $\mathcal{V}(p_i)$ est la cellule associée au site p_i
- q est un point quelconque absent de P
- e est une arête de Voronoï
- v est un sommet de Voronoï



Principe de base

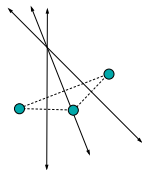
Si P contient seulement deux points, p_1 et p_2 , alors la droite bissectrice sépare le plan en 2 demi-plans, $h(p_1, p_2)$ et $h(p_2, p_1)$.

De plus, **cette droite est la seule arête du diagramme de Voronoï** associé à P .



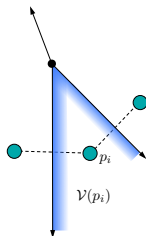
Principe de base

Lorsqu'on ajoute un point à P , on ajoute **une bissectrice pour chacune des paires de points**.



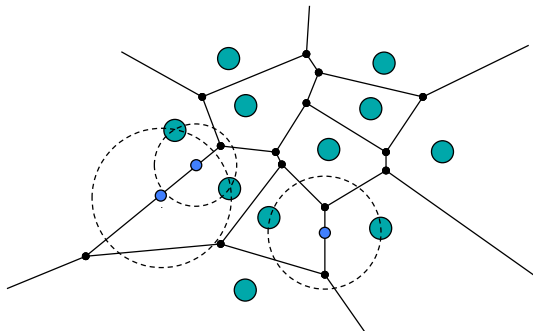
Une cellule est l'**intersection de plusieurs demi-plans** :

$$\mathcal{V}(p_i) = \bigcap_{\substack{1 \leq j \leq n \\ i \neq j}} h(p_i, p_j)$$



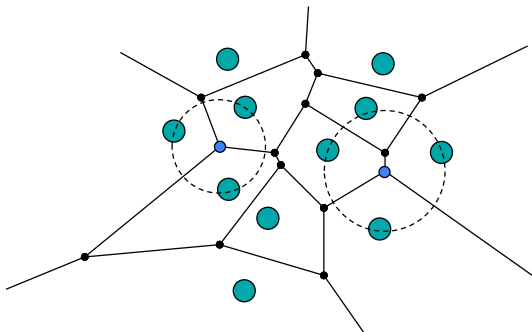
Principe de base

Un point $q \notin P$ est **sur une arête** de $\mathcal{V}or(P)$ entre les sites p_i et p_j si et seulement si le plus grand cercle vide centré en q **touche seulement à p_i et p_j** .



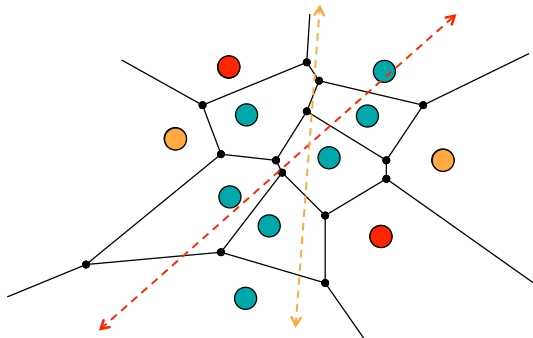
Principe de base

Un point $q \notin P$ est **un sommet** de $\mathcal{V}or(P)$ entre les sites p_i et p_j si et seulement si le plus grand cercle vide centré en q **touche seulement à au moins trois sites**.



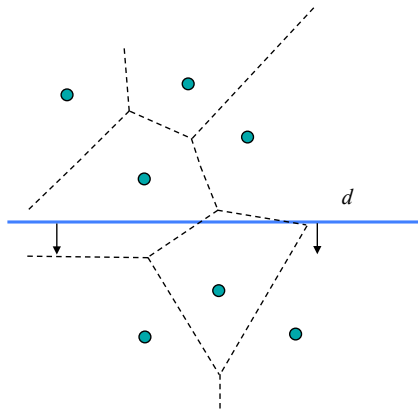
Principe de base

Notons que ce ne sont **pas toutes les bissectrices ni toutes les intersections de bissectrices** qui sont dans $\mathcal{Vor}(P)$.



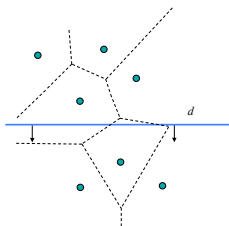
Algorithme de Fortune

L'**algorithme de Fortune** est une approche par balayage d'une droite d de haut en bas de l'ensemble des sites.



Algorithme de Fortune

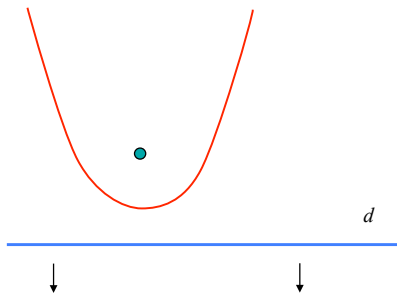
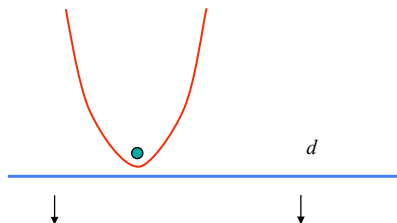
L'idée est de maintenir une représentation des positions des points qui sont **plus près d'un site p_i au dessus de d que de d** .



Cette représentation ne changera plus, car un tel point est **forcément plus près de d que de tous les sites en dessous de d** .

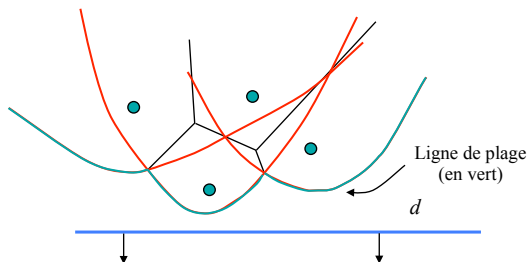
Algorithme de Fortune

On peut caractériser analytiquement la ligne d'équidistance entre un point et une droite par **une parabole qui s'évase à mesure que la droite s'éloigne du point.**



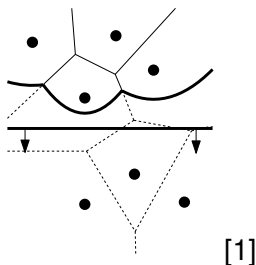
Algorithme de Fortune

Si on a plusieurs sites, chacun d'eux est représenté par une parabole différente. La ligne de front des paraboles est appelée **ligne de plage**.



Algorithme de Fortune

Une arête du diagramme de Voronoï correspond aux intersections des paraboles. La position des intersections évolue à mesure que d descend.



Ce qui est au dessus de la ligne de plage ne change plus.

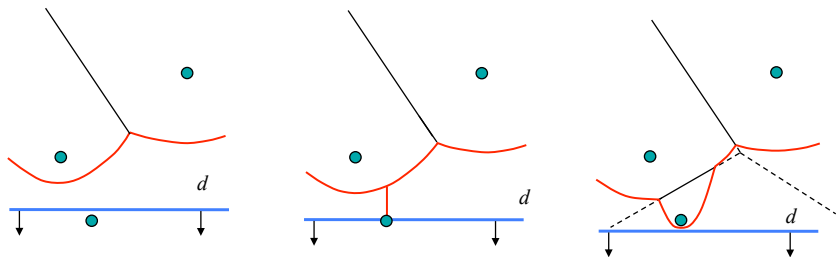
Algorithme de Fortune

À mesure que la droite d descend et parcourt l'ensemble des sites, **deux événements peuvent survenir** :

- d rencontre un site
- un arc de parabole disparaît

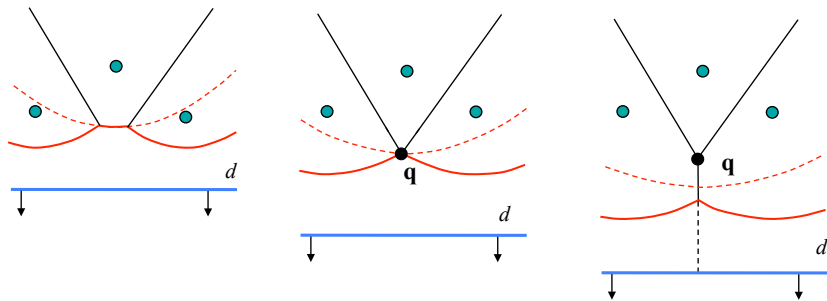
Algorithme de Fortune

Lorsque d rencontre un site, **une nouvelle parabole est créée**, ce qui modifie la ligne de plage, et **une nouvelle arête** s'ajoute au diagramme.



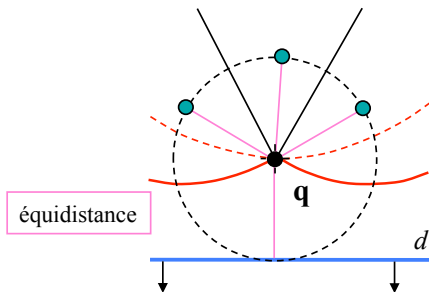
Algorithme de Fortune

Lorsqu'un arc de parabole diminue et disparaît au point q , un **nouveau sommet** et **une nouvelle arête** s'ajoutent au diagramme.



Algorithme de Fortune

De plus, lors de la disparition d'un arc de parabole au point q , **au moins trois sites sont sur la frontière d'un cercle vide** centré en q .



Algorithme de Fortune

Pour l'implantation de l'algorithme de Fortune pour la construction d'un diagramme de Voronoï, on utilise deux structures de données :

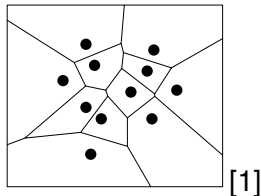
- Un **arbre binaire de recherche** équilibré pour stocker la ligne de plage ;
- Une **liste d'arêtes doublement chaînée** pour stocker le diagramme de Voronoï en construction.

La **liste d'arêtes doublement chaînée** (*doubly-connected edge list*, ou DCEL), à la base, est une structure élaborée pour stocker une **subdivision du plan**.

DCEL

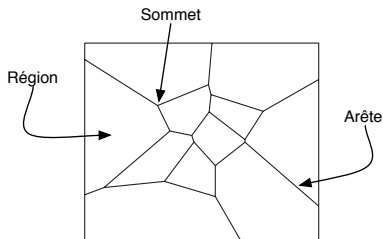
Ainsi, une DCEL sert à représenter en mémoire **une subdivision planaire**, mais son fonctionnement se prête très bien au stockage d'un diagramme de Voronoï.

Pour y arriver, on définit un rectangle englobant tous les points formant le diagramme de Voronoï :



DCEL

Une DCEL contient un enregistrement pour chaque **région**, chaque **arête** et chaque **sommet** du diagramme de Voronoï.



DCEL

L'information géométrique et topologique contenue dans la DCEL doit permettre d'effectuer les opérations de base suivantes :

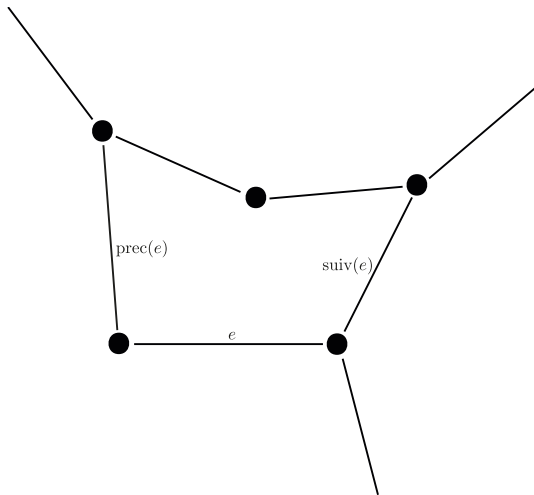
- **Faire le tour d'une région** en passant par chacune de ses arêtes ;
- **Accéder à une région à partir d'une région adjacente** en connaissant l'arête commune ;
- **Visiter toutes les arêtes** ayant comme extrémité un point donné.

DCEL

Pour pouvoir effectuer la première tâche, c'est-à-dire **se promener d'une arête à l'autre** autour d'une région, on doit stocker **un pointeur de l'arête vers la suivante**.

Qui plus est, ce n'est pas très forçant de permettre en plus le parcours dans l'autre sens. Il suffit alors de conserver aussi **un pointeur vers l'arête précédente**.

DCEL



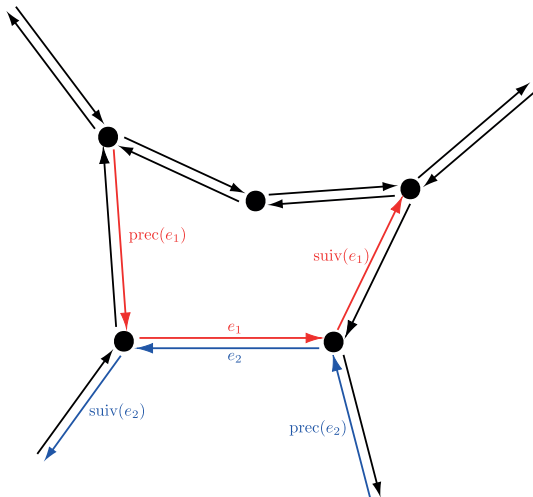
DCEL

Comme une arête se trouve habituellement sur la frontière de deux régions, on devra stocker **deux paires de pointeurs**.

Il devient alors pertinent de voir les deux côtés d'une arête **e comme deux demi-arêtes distinctes e_1 et e_2** , de manière à définir sans ambiguïtés les deux paires d'arêtes précédente et suivante, dans le sens antihoraire (par convention).

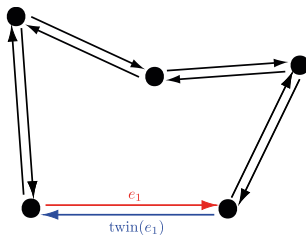
Cela a aussi comme conséquence plaisante qu'**une demi-arête sera sur la bordure d'une seule région**.

DCEL



DCEL

Les deux demi-arêtes associées à une arête sont appelés **jumeaux**.

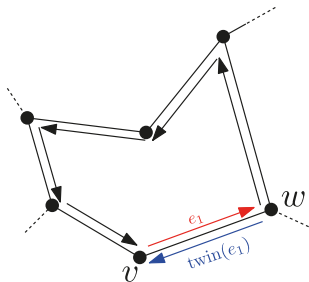


Soit une demi-arête e . Définir la demi arête suivante dans le sens antihoraire a pour conséquence que **la région bornée par celle-ci se trouvera toujours du côté gauche.**

DCEL

Comme les arêtes sont orientées, on peut parler de **point d'origine** et de **point d'arrivée** de celles-ci.

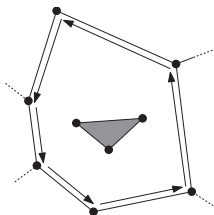
Si une arête e possède v comme point d'origine et w comme point d'arrivée, alors **son arête jumelle** a w comme point de départ et v comme point d'arrivée.



DCEL

Finalement, un enregistrement de région dans la liste doit posséder **un pointeur vers une demi-arête sur sa frontière**, de manière à permettre d'en faire le tour.

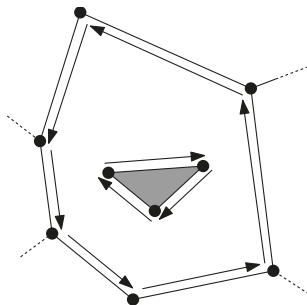
Une situation qui n'a pas encore été gérée est celle des **trous dans une région**.



Dans ce cas, en parcourant les arêtes formant le trou dans le sens antihoraire, on aura que **la région se trouvera à la droite** de celles-ci.

DCEL

Comme il est préférable de toujours avoir les régions du même côté des arêtes (à gauche), on choisira de **parcourir les arêtes dans le sens horaire** dans le cas d'un trou dans une région.



DCEL

La gestion des trous dans les régions signifie aussi que le fait de **posséder un unique pointeur vers une des demi-arêtes** composant son contour n'est plus suffisant.

Il est plutôt nécessaire pour une région de posséder **un pointeur vers une demi-arête de chaque frontière qui la compose**, que celle-ci soit associée au contour ou à un trou dans la région.

DCEL

En résumé, une DCEL compte **trois collections d'enregistrements** : une pour les sommets, une pour les régions et une pour les demi-arêtes.

L'enregistrement pour un sommet v comprend les coordonnées de v ainsi qu'un pointeur vers une quelconque demi-arête ayant v comme extrémité.

L'enregistrement pour une région f stocke quant à elle un pointeur vers une quelconque demi-arête sur sa bordure, de même qu'une liste de pointeurs vers une demi arête quelconque faisant partie de la frontière de chaque trou dans la région.

DCEL

Finalement, **l'enregistrement pour une demi-arête e** doit inclure

- Un pointeur vers son sommet d'origine ;
- Un pointeur vers sa demi-arête jumelle ;
- Un pointeur vers la région qu'il borne.

Il n'est toutefois pas nécessaire de stocker **un pointeur vers son sommet d'arrivée**, puisque celui-ci correspond à l'origine de la demi-arête jumelle.

DCEL

L'enregistrement d'une demi-arête doit aussi contenir **des pointeurs vers les arêtes suivante et précédente**.

Les enregistrements pour les sommet et les arêtes occupent **une quantité de mémoire fixe**, tandis que l'espace occupé par un enregistrement de région est **variable** en raison de la liste de pointeurs vers les trous dans la région.

Algorithme de Fortune

Algorithm VORONOIDIAGRAM(P)

Input. A set $P := \{p_1, \dots, p_n\}$ of point sites in the plane.

Output. The Voronoi diagram $\text{Vor}(P)$ given inside a bounding box in a doubly-connected edge list \mathcal{D} .

1. Initialize the event queue \mathcal{Q} with all site events, initialize an empty status structure \mathcal{T} and an empty doubly-connected edge list \mathcal{D} .
2. **while** \mathcal{Q} is not empty
3. **do** Remove the event with largest y -coordinate from \mathcal{Q} .
4. **if** the event is a site event, occurring at site p_i
5. **then** HANDLESITEEVENT(p_i)
6. **else** HANDLECIRCLEEVENT(γ), where γ is the leaf of \mathcal{T} representing the arc that will disappear
7. The internal nodes still present in \mathcal{T} correspond to the half-infinite edges of the Voronoi diagram. Compute a bounding box that contains all vertices of the Voronoi diagram in its interior, and attach the half-infinite edges to the bounding box by updating the doubly-connected edge list appropriately.
8. Traverse the half-edges of the doubly-connected edge list to add the cell records and the pointers to and from them.

Algorithme de Fortune

HANDLESITEEVENT(p_i)

1. If \mathcal{T} is empty, insert p_i into it (so that \mathcal{T} consists of a single leaf storing p_i) and return. Otherwise, continue with steps 2– 5.
2. Search in \mathcal{T} for the arc α vertically above p_i . If the leaf representing α has a pointer to a circle event in \mathcal{Q} , then this circle event is a false alarm and it must be deleted from \mathcal{Q} .
3. Replace the leaf of \mathcal{T} that represents α with a subtree having three leaves. The middle leaf stores the new site p_i and the other two leaves store the site p_j that was originally stored with α . Store the tuples $\langle p_j, p_i \rangle$ and $\langle p_i, p_j \rangle$ representing the new breakpoints at the two new internal nodes. Perform rebalancing operations on \mathcal{T} if necessary.
4. Create new half-edge records in the Voronoi diagram structure for the edge separating $\mathcal{V}(p_i)$ and $\mathcal{V}(p_j)$, which will be traced out by the two new breakpoints.
5. Check the triple of consecutive arcs where the new arc for p_i is the left arc to see if the breakpoints converge. If so, insert the circle event into \mathcal{Q} and add pointers between the node in \mathcal{T} and the node in \mathcal{Q} . Do the same for the triple where the new arc is the right arc.

Algorithme de Fortune

HANDLECIRCLEEVENT(γ)

1. Delete the leaf γ that represents the disappearing arc α from \mathcal{T} . Update the tuples representing the breakpoints at the internal nodes. Perform rebalancing operations on \mathcal{T} if necessary. Delete all circle events involving α from \mathcal{Q} ; these can be found using the pointers from the predecessor and the successor of γ in \mathcal{T} . (The circle event where α is the middle arc is currently being handled, and has already been deleted from \mathcal{Q} .)
2. Add the center of the circle causing the event as a vertex record to the doubly-connected edge list \mathcal{D} storing the Voronoi diagram under construction. Create two half-edge records corresponding to the new breakpoint of the beach line. Set the pointers between them appropriately. Attach the three new records to the half-edge records that end at the vertex.
3. Check the new triple of consecutive arcs that has the former left neighbor of α as its middle arc to see if the two breakpoints of the triple converge. If so, insert the corresponding circle event into \mathcal{Q} . and set pointers between the new circle event in \mathcal{Q} and the corresponding leaf of \mathcal{T} . Do the same for the triple where the former right neighbor is the middle arc.

Triangulation de Delaunay

1 Introduction

2 **Triangulation**

- Généralités
- Diagrammes de Voronoï
- **Triangulation de Delaunay**

3 Références

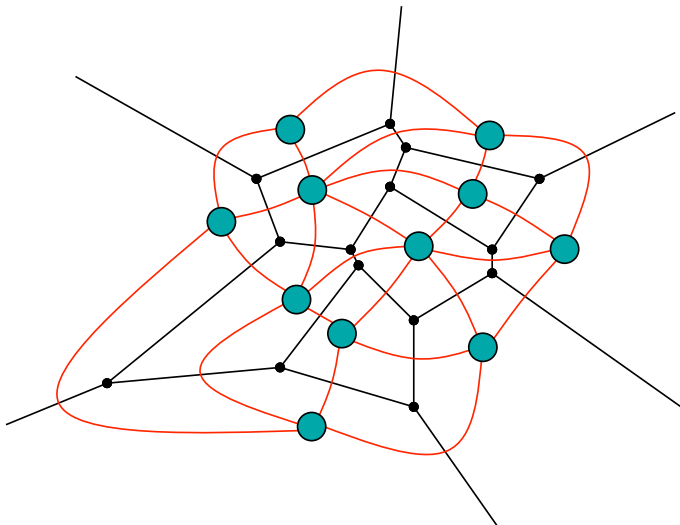
Méthode duale

Soit P un ensemble de n points et $\mathcal{V}or(P)$, son diagramme de Voronoï. On définit $\mathcal{G}(P)$ comme le **graphe dual** de $\mathcal{V}or(P)$.

On a donc que

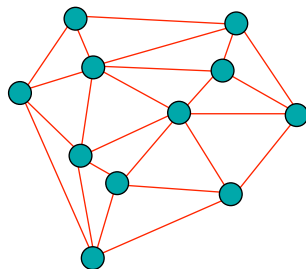
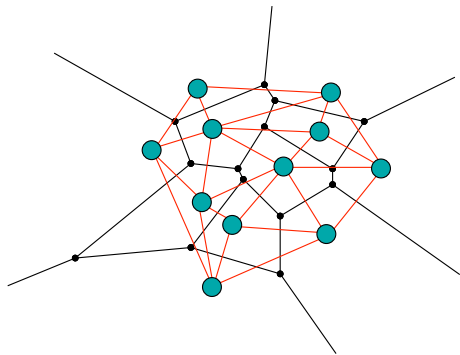
- Pour **chaque cellule** de $\mathcal{V}or(P)$, il y a **un sommet** dans $\mathcal{G}(P)$.
- Pour **chaque arête** de $\mathcal{V}or(P)$, il y a **une arête** dans $\mathcal{G}(P)$.
- Pour **chaque sommet** de $\mathcal{V}or(P)$, il y a **une cellule bornée** dans $\mathcal{G}(P)$.

Méthode duale



Méthode duale

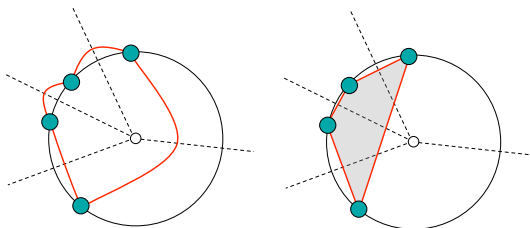
On appelle **graphe de Delaunay**, noté $\mathcal{GD}(P)$, le graphe $\mathcal{G}(P)$ où les arêtes sont **des segments de droite entre les sommets**.



Méthode duale

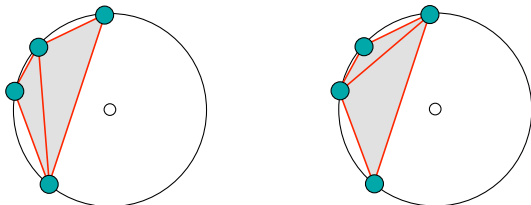
Le graphe de Delaunay n'est **pas nécessairement** une triangulation.

Si un sous-ensemble de **plus de trois points de P** se trouve sur un **même cercle vide**, ces points forment un **polygone convexe vide**. Cela se produit lorsqu'un sommet de $\mathcal{V}or(P)$ à un degré supérieur à 3.



Méthode duale

La **triangulation de Delaunay**, notée $\mathcal{TD}(P)$, est obtenue en ajoutant 0 ou plus arêtes au graphe de Delaunay $\mathcal{GD}(P)$.



On ajoute le segment **maximisant localement l'angle minimal**.

Méthode duale

La triangulation de Delaunay est **toujours légale**. Elle est aussi **angle-optimale**.

Le problème de trouver une triangulation qui **maximise l'angle minimum** est donc réduit à **trouver une triangulation de Delaunay**.

Algorithme Trouver une triangulation de Delaunay pour \mathcal{P}

ENTRÉES: Ensemble de points \mathcal{P}

SORTIES: $\mathcal{TD}(\mathcal{P})$

- 1: Calculer $\mathcal{Vor}(\mathcal{P})$
 - 2: Trouver le graphe dual $\mathcal{GD}(\mathcal{P})$
 - 3: Redresser les arêtes pour obtenir $\mathcal{GD}(\mathcal{P})$
 - 4: Ajouter des arêtes pour terminer la triangulation au besoin
-

Méthode incrémentale

D'autres méthodes permettent d'obtenir la triangulation de Delaunay pour un ensemble de points P .

La **méthode incrémentale aléatoire** en est une, et elle a l'avantage de ne pas nécessiter le calcul du diagramme de Voronoï.

Méthode incrémentale

Algorithme Trouver une triangulation de Delaunay pour \mathcal{P} par la méthode incrémentale aléatoire

ENTRÉES: Ensemble de points \mathcal{P}

SORTIES: $\mathcal{TD}(\mathcal{P})$

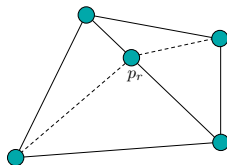
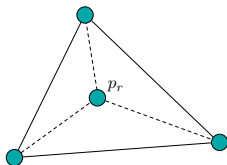
- 1: Initialiser la triangulation avec un triangle assez gros, de telle sorte qu'il entoure tous les points de \mathcal{P}
 - 2: Choisir un point de \mathcal{P} au hasard : \mathbf{p}_r
 - 3: Trouver le triangle dans lequel se trouve \mathbf{p}_r
 - 4: Subdiviser ce triangle en 3 triangles plus petits ayant \mathbf{p}_r comme sommet
 - 5: Tourner des arêtes jusqu'à ce que toutes les arêtes soient légales
 - 6: Répéter les étapes 2, 3, 4 et 5 jusqu'à ce que tous les points de \mathcal{P} soient dans la triangulation
 - 7: Enlever les 3 points du triangle englobant et tous les triangles reliés
-

Méthode incrémentale

À l'étape 4, avant l'ajout de p_r et la substitution, **toutes les arêtes sont légales**.

Deux cas sont alors possibles lors de l'ajout d'un point :

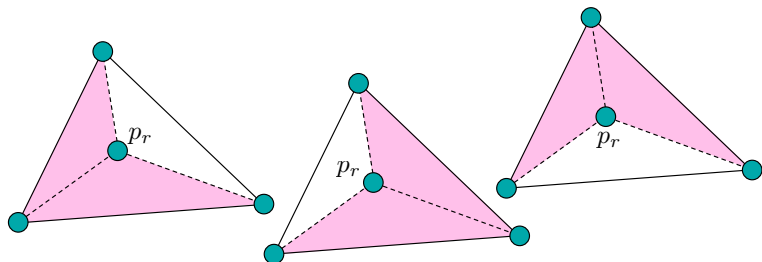
- p_r tombe à l'intérieur d'un triangle
- p_r tombe sur une arête existante



Méthode incrémentale

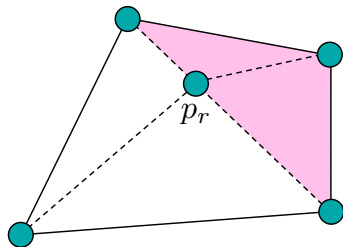
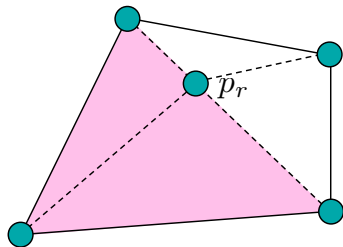
À l'étape 5, on doit déterminer **quelles arêtes sont illégales**. Or, après la subdivision, **toutes les arêtes adjacentes à p_r sont légales**.

Si p_r tombe à l'intérieur d'un triangle, **les quadrilatères ne sont pas convexes**. On ne peut donc permuter aucune arête.



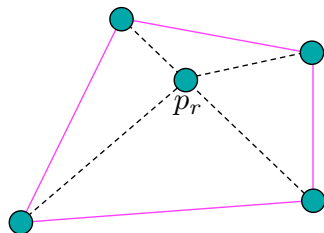
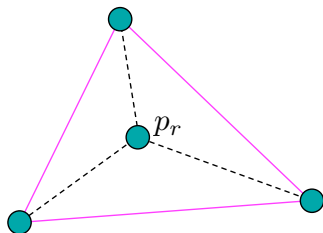
Méthode incrémentale

Si p_r tombe sur une arête existante, **deux des quadrilatères sont convexes**. Il est par contre impossible de permuter des arêtes.



Méthode incrémentale

Une arête devient illégale **si un de ses triangles adjacents a changé**. Les arêtes des nouveaux triangles qui sont non adjacentes à p_r peuvent donc être illégales.



Méthode incrémentale

Il faut donc **vérifier chacun des nouveaux triangles** créés :





- Est-ce qu'on a un quadrilatère convexe ?
- Si oui, a-t-on une arête légale ? Si ce n'est pas le cas, on permute.

Notons que comme la permutation crée deux nouveaux triangles, il faut **reprendre la vérification pour ceux-ci**.

Références

- 1 Introduction
- 2 Triangulation
- 3 Références**

Références I

-  M. de Berg, O. Cheong, M. van Kreveld, and M. Overmars.
Computational geometry, 2010.
-  C. D. Hansen and C. R. Johnson.
The visualization handbook, 2004.
-  W. Schroeder, K. Martin, and B. Lorensen.
The visualization toolkit : An object-oriented approach to 3d graphics, 2006.
-  A. C. Telea.
Data visualization : Principles and practice, 2008.